

Starkniederschlagshöhen und -spenden gemäß KOSTRA-DWD-2020

Rasterfeld 88178

(Zeile 88, Spalte 178)

Regenspende und Bemessungsniederschlagswerte in Abhängigkeit von Wiederkehrzeit T und Dauerstufe D

| Dauerstufe D | | Wiederkehrzeit T | | | | | | | | | | | | | | | | | |
|--------------|-----|------------------|------------|------|------------|------|------------|------|------------|------|------------|-------|------------|-------|------------|-------|------------|-------|------------|
| | | 1 a | | 2 a | | 3 a | | 5 a | | 10 a | | 20 a | | 30 a | | 50 a | | 100 a | |
| min | Std | mm | l / (s ha) | mm | l / (s ha) | mm | l / (s ha) | mm | l / (s ha) | mm | l / (s ha) | mm | l / (s ha) | mm | l / (s ha) | mm | l / (s ha) | mm | l / (s ha) |
| 5 | | 6,2 | 206,7 | 7,9 | 263,3 | 8,9 | 296,7 | 10,2 | 340,0 | 12,1 | 403,3 | 14,1 | 470,0 | 15,4 | 513,3 | 17,1 | 570,0 | 19,5 | 650,0 |
| 10 | | 8,2 | 136,7 | 10,3 | 171,7 | 11,7 | 195,0 | 13,4 | 223,3 | 15,9 | 265,0 | 18,5 | 308,3 | 20,2 | 336,7 | 22,4 | 373,3 | 25,6 | 426,7 |
| 15 | | 9,4 | 104,4 | 11,8 | 131,1 | 13,4 | 148,9 | 15,4 | 171,1 | 18,3 | 203,3 | 21,2 | 235,6 | 23,2 | 257,8 | 25,7 | 285,6 | 29,4 | 326,7 |
| 20 | | 10,3 | 85,8 | 12,9 | 107,5 | 14,6 | 121,7 | 16,8 | 140,0 | 19,9 | 165,8 | 23,2 | 193,3 | 25,3 | 210,8 | 28,1 | 234,2 | 32,1 | 267,5 |
| 30 | | 11,5 | 63,9 | 14,5 | 80,6 | 16,4 | 91,1 | 18,9 | 105,0 | 22,4 | 124,4 | 26,1 | 145,0 | 28,5 | 158,3 | 31,6 | 175,6 | 36,1 | 200,6 |
| 45 | | 12,9 | 47,8 | 16,2 | 60,0 | 18,3 | 67,8 | 21,1 | 78,1 | 25,0 | 92,6 | 29,1 | 107,8 | 31,8 | 117,8 | 35,3 | 130,7 | 40,3 | 149,3 |
| 60 | 1 | 13,9 | 38,6 | 17,5 | 48,6 | 19,8 | 55,0 | 22,7 | 63,1 | 27,0 | 75,0 | 31,4 | 87,2 | 34,3 | 95,3 | 38,0 | 105,6 | 43,4 | 120,6 |
| 90 | 1,5 | 15,4 | 28,5 | 19,4 | 35,9 | 21,9 | 40,6 | 25,2 | 46,7 | 29,9 | 55,4 | 34,8 | 64,4 | 38,0 | 70,4 | 42,2 | 78,1 | 48,1 | 89,1 |
| 120 | 2 | 16,5 | 22,9 | 20,8 | 28,9 | 23,5 | 32,6 | 27,0 | 37,5 | 32,1 | 44,6 | 37,4 | 51,9 | 40,8 | 56,7 | 45,3 | 62,9 | 51,7 | 71,8 |
| 180 | 3 | 18,2 | 16,9 | 23,0 | 21,3 | 26,0 | 24,1 | 29,9 | 27,7 | 35,5 | 32,9 | 41,2 | 38,1 | 45,0 | 41,7 | 50,0 | 46,3 | 57,1 | 52,9 |
| 240 | 4 | 19,5 | 13,5 | 24,7 | 17,2 | 27,8 | 19,3 | 32,0 | 22,2 | 38,0 | 26,4 | 44,2 | 30,7 | 48,3 | 33,5 | 53,6 | 37,2 | 61,2 | 42,5 |
| 360 | 6 | 21,5 | 10,0 | 27,2 | 12,6 | 30,7 | 14,2 | 35,3 | 16,3 | 41,9 | 19,4 | 48,7 | 22,5 | 53,2 | 24,6 | 59,0 | 27,3 | 67,4 | 31,2 |
| 540 | 9 | 23,7 | 7,3 | 29,9 | 9,2 | 33,8 | 10,4 | 38,8 | 12,0 | 46,1 | 14,2 | 53,6 | 16,5 | 58,6 | 18,1 | 65,0 | 20,1 | 74,2 | 22,9 |
| 720 | 12 | 25,4 | 5,9 | 32,0 | 7,4 | 36,2 | 8,4 | 41,6 | 9,6 | 49,4 | 11,4 | 57,4 | 13,3 | 62,7 | 14,5 | 69,6 | 16,1 | 79,5 | 18,4 |
| 1080 | 18 | 27,9 | 4,3 | 35,3 | 5,4 | 39,8 | 6,1 | 45,7 | 7,1 | 54,3 | 8,4 | 63,2 | 9,8 | 69,0 | 10,6 | 76,6 | 11,8 | 87,5 | 13,5 |
| 1440 | 24 | 29,9 | 3,5 | 37,7 | 4,4 | 42,6 | 4,9 | 49,0 | 5,7 | 58,1 | 6,7 | 67,6 | 7,8 | 73,8 | 8,5 | 81,9 | 9,5 | 93,6 | 10,8 |
| 2880 | 48 | 35,2 | 2,0 | 44,4 | 2,6 | 50,1 | 2,9 | 57,6 | 3,3 | 68,4 | 4,0 | 79,6 | 4,6 | 86,9 | 5,0 | 96,4 | 5,6 | 110,2 | 6,4 |
| 4320 | 72 | 38,7 | 1,5 | 48,8 | 1,9 | 55,1 | 2,1 | 63,4 | 2,4 | 75,3 | 2,9 | 87,5 | 3,4 | 95,6 | 3,7 | 106,1 | 4,1 | 121,2 | 4,7 |
| 5760 | 96 | 41,4 | 1,2 | 52,2 | 1,5 | 59,0 | 1,7 | 67,8 | 2,0 | 80,5 | 2,3 | 93,6 | 2,7 | 102,2 | 3,0 | 113,5 | 3,3 | 129,6 | 3,8 |
| 7200 | 120 | 43,6 | 1,0 | 55,1 | 1,3 | 62,1 | 1,4 | 71,4 | 1,7 | 84,9 | 2,0 | 98,7 | 2,3 | 107,7 | 2,5 | 119,6 | 2,8 | 136,6 | 3,2 |
| 8640 | 144 | 45,5 | 0,9 | 57,5 | 1,1 | 64,9 | 1,3 | 74,6 | 1,4 | 88,6 | 1,7 | 103,0 | 2,0 | 112,4 | 2,2 | 124,8 | 2,4 | 142,6 | 2,8 |
| 10080 | 168 | 47,2 | 0,8 | 59,6 | 1,0 | 67,2 | 1,1 | 77,3 | 1,3 | 91,8 | 1,5 | 106,8 | 1,8 | 116,6 | 1,9 | 129,4 | 2,1 | 147,8 | 2,4 |

Starkniederschlagshöhen und -spenden gemäß KOSTRA-DWD-2020

Rasterfeld 88178

(Zeile 88, Spalte 178)

Örtliche Unsicherheiten in Abhängigkeit von Wiederkehrzeit T und Dauerstufe D

| Dauerstufe D | | Wiederkehrzeit T | | | | | | | | |
|--------------|-----|------------------|-----|-----|-----|------|------|------|------|-------|
| | | 1 a | 2 a | 3 a | 5 a | 10 a | 20 a | 30 a | 50 a | 100 a |
| min | Std | ± % | ± % | ± % | ± % | ± % | ± % | ± % | ± % | ± % |
| 5 | | 13 | 13 | 13 | 13 | 14 | 14 | 14 | 15 | 15 |
| 10 | | 12 | 14 | 15 | 16 | 17 | 18 | 18 | 19 | 19 |
| 15 | | 14 | 16 | 17 | 18 | 19 | 20 | 20 | 21 | 22 |
| 20 | | 14 | 17 | 18 | 19 | 20 | 21 | 22 | 22 | 23 |
| 30 | | 15 | 17 | 19 | 20 | 21 | 22 | 23 | 23 | 24 |
| 45 | | 15 | 18 | 19 | 20 | 22 | 23 | 23 | 24 | 25 |
| 60 | 1 | 15 | 18 | 19 | 20 | 22 | 23 | 23 | 24 | 24 |
| 90 | 1,5 | 15 | 17 | 18 | 20 | 21 | 22 | 23 | 23 | 24 |
| 120 | 2 | 14 | 17 | 18 | 19 | 20 | 22 | 22 | 23 | 23 |
| 180 | 3 | 13 | 16 | 17 | 18 | 19 | 21 | 21 | 22 | 22 |
| 240 | 4 | 13 | 15 | 16 | 17 | 19 | 20 | 20 | 21 | 22 |
| 360 | 6 | 12 | 14 | 15 | 16 | 18 | 19 | 19 | 20 | 21 |
| 540 | 9 | 12 | 14 | 15 | 16 | 17 | 18 | 18 | 19 | 19 |
| 720 | 12 | 12 | 13 | 14 | 15 | 16 | 17 | 18 | 18 | 19 |
| 1080 | 18 | 12 | 13 | 14 | 15 | 16 | 16 | 17 | 17 | 18 |
| 1440 | 24 | 12 | 13 | 14 | 14 | 15 | 16 | 17 | 17 | 18 |
| 2880 | 48 | 14 | 14 | 14 | 15 | 15 | 16 | 16 | 16 | 17 |
| 4320 | 72 | 15 | 15 | 15 | 15 | 16 | 16 | 16 | 17 | 17 |
| 5760 | 96 | 16 | 16 | 16 | 16 | 16 | 16 | 17 | 17 | 17 |
| 7200 | 120 | 17 | 16 | 16 | 16 | 16 | 17 | 17 | 17 | 17 |
| 8640 | 144 | 18 | 17 | 17 | 17 | 17 | 17 | 17 | 17 | 18 |
| 10080 | 168 | 19 | 18 | 17 | 17 | 17 | 17 | 18 | 18 | 18 |

Parameter für abweichende T und D

Lokationsparameter ξ (Xi)

14,21012311

Skalenparameter α (Alpha)

5,18012952

Formparameter κ (Kappa)

-0,1

1. Koutsoyiannis-Parameter θ (Theta)

0,03100126

2. Koutsoyiannis-Parameter η (Eta)

0,76554464

Parameter für dauerstufenübergreifende Extremwertschätzung nach KOUTSOYIANNIS et al. 1998.

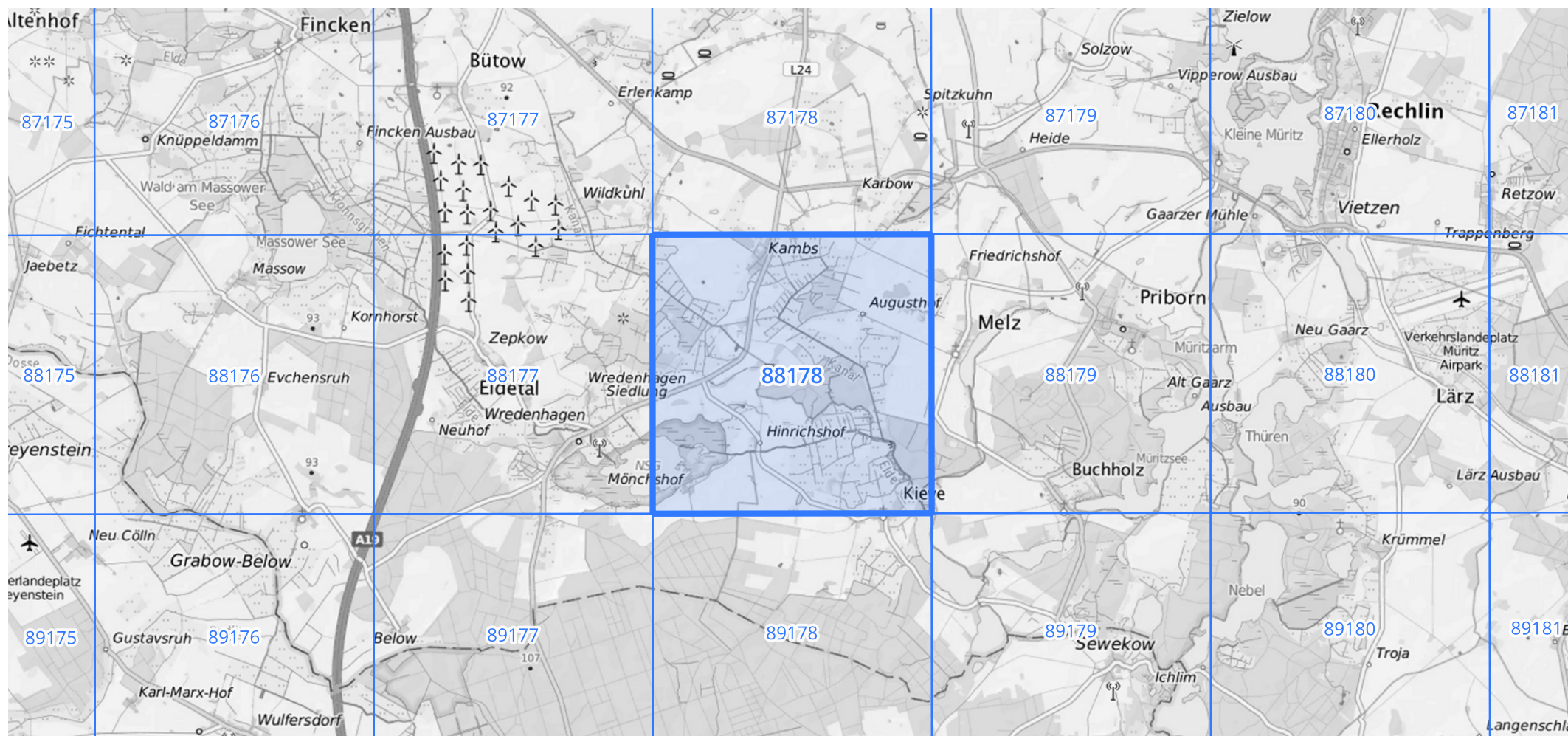
Siehe auch Anwendungshilfe zu KOSTRA-DWD-2020 des Deutschen Wetterdienstes.

Starkniederschlagshöhen und -spenden gemäß KOSTRA-DWD-2020

Rasterfeld 88178

(Zeile 88, Spalte 178)

Übersichtskarte des Rasterfeldes 88178, M 1 : 100 000



Quelle Rasterdaten: KOSTRA-DWD-2020 des Deutschen Wetterdienstes, Stand 12/2022.

Seite 3 von 3

Kartendarstellung: © Bundesamt für Kartographie und Geodäsie (2023), Datenquellen: https://sgx.geodatenzentrum.de/web_public/gdz/datenquellen/Datenquellen_TopPlusOpen.html

Für die Richtigkeit und Aktualität der Angaben wird keine Gewähr übernommen. Erstellt 01/2023.